

การศึกษาเชิงทดลองของพฤติกรรมการเผาไหม้ของแกลบในเตาเผาฟลูอิไดซ์เบดที่มีครีบรูปตัววี  
**Experimental study on combustion behaviors of the rice husk in a fluidized-bed  
combustor with V-shaped ribs**

สุภัทรชัย สุวรรณพันธุ์<sup>1</sup> (Supattarachai Suwannapan<sup>1</sup>), ภาณุวัฒน์ หุ่นพงษ์<sup>2\*</sup> (Panuwat Hoonpong<sup>2\*</sup>),  
สมพล ศุกลหลง<sup>3</sup> (Sompol Skullong<sup>3</sup>), ชินรักษา เนียรพงษ์<sup>4</sup> (Chinaruk Thianpong<sup>4</sup>)  
และ พงษ์เจต พรหมวงศ์<sup>1</sup> (Pongjet Promvong<sup>1</sup>)

**บทคัดย่อ**

งานวิจัยนี้เป็นการนำเสนอการเผาไหม้เข้าเพลิงแกลบภายในเตาเผาฟลูอิไดซ์เบดรูปทรงสี่เหลี่ยมจัตุรัสที่มีการติดตั้งครีบภายในห้องเผาไหม้ ซึ่งลักษณะของการติดตั้งครีบจะเป็นรูปตัววี มีมุมปะทะเท่ากับ 45 องศา ในการทดลองจะใช้ค่าอัตราการป้อนแกลบคงที่ที่ 8.7 กิโลกรัม/ชั่วโมง โดยจะมีการปรับค่าเริมามาเป็นรูปเข็มท้อกาศส่วนเกิน, (EA=23 และ 36 %) ค่าอัตราส่วนระยะห่างระหว่างครีบต่อความสูงของห้องเผาไหม้, (S/H=0.01, 0.015, 0.02 และ 0.025) ในการทดลองนี้จะเป็นการศึกษาถึงอิทธิพลของตัวแปรต่าง ๆ เหล่านี้ที่มีผลต่อค่าอุณหภูมิ ปริมาณก๊าซไอเสียและประสิทธิภาพที่เกิดจากการเผาไหม้ จากผลการทดลองพบว่าในกรณีที่เตาเผาไม่มีการติดตั้งครีบที่ค่า EA=23% จะให้ค่าอุณหภูมิสูงกว่า เมื่อเปรียบเทียบกับที่ค่า EA=36% มีค่าอุณหภูมิเฉลี่ยสูงกว่า 805 °C ส่วนในกรณีที่มีการติดตั้งครีบพบว่าที่ค่า EA=23% และ S/H=0.025 จะให้ค่าอุณหภูมิเฉลี่ยสูงกว่ากรณีอื่น ๆ มีค่าเท่ากับ 858 °C จากการวัดปริมาณก๊าซไอเสียจะพบว่ามีค่าค่อนข้างต่ำทั้งกรณีที่ติดตั้งครีบและไม่ติดตั้งครีบ เมื่อพิจารณาค่าประสิทธิภาพการเผาไหม้พบว่าทุกกรณีที่ทำการศึกษามีค่าสูงกว่า 95%

**ABSTRACT**

This work presents the rice husk combustion behaviors in a square duct fluidized bed combustor with V-shaped ribs. The V-shaped ribs were placed on the inside wall of combustion chamber with the attack angle 45°. In the experiment, a feeding rate of rice husk at 8.7 kg/hr was kept constant throughout where the excess air were varied to be, (EA=23 and 36%); fin space to combustion chamber height ratios, (S/H=0.01, 0.015, 0.02 and 0.025). In this experiment, to study the effect of these parameters on temperature distribution, combustion emissions and efficiency from rice husk combustion. From experiment results, the combustor without rib at EA=23% provides the average temperature higher than EA=23% is about 805 °C. The combustor with rib at EA=23% and S/H=0.025 yields the average temperature higher than others is about 858 °C. Both of fluidized bed rice husk combustor with rib and without ribs shows an excellent efficiency and low emissions. It is visible that the efficiency value more than 95% for all cases study.

**คำสำคัญ :** เตาเผาฟลูอิไดซ์เบด, แกลบ, การเผาไหม้

**Key Words :** fluidized-bed combustor, rib, rice husk, combustion

<sup>1</sup> สาขาวิชาวิศวกรรมเครื่องกล คณะวิศวกรรมศาสตร์ มหาวิทยาลัยเทคโนโลยีราชมงคลล้านนา วิทยาเขตขอนแก่น

150 หมู่ 6 ต.ศรีจันทร์ ต.ในเมือง อ.เมืองขอนแก่น จ.ขอนแก่น 40000

<sup>2</sup> สาขาวิชาเทคโนโลยีเครื่องกล คณะเทคโนโลยีอุตสาหกรรม มหาวิทยาลัยราชภัฏเชียงใหม่

321 ถนนราษฎร์ມหาราช ต.ทรายศรีบุรพ์ อ.เมือง จ.ลำปาง 15000 \*E-mail : sompop2525@gmail.com

<sup>3</sup> สาขาวิชาวิศวกรรมเครื่องกล คณะวิศวกรรมศาสตร์ศรีราชา มหาวิทยาลัยเกษตรศาสตร์ วิทยาเขตศรีราชา

199 หมู่ 6 ต.ทุ่งสุขลา อ.ศรีราชา จ.ชลบุรี 20230

<sup>4</sup> สาขาวิชาวิศวกรรมเครื่องกล คณะวิศวกรรมศาสตร์ สถาบันเทคโนโลยีพระจอมเกล้าเจ้าคุณทหารลาดกระบัง

ถ. ฉลองกรุง เขตตลาดกรุงปั้ง กรุงเทพมหานคร 10520 \*E-mail : kppongje@kmut.ac.th

## บทนำ

ในปัจจุบันเรื่องพลังงานเป็นปัญหาใหญ่ของโลก ด้วยความต้องการในการใช้พลังงานมีแนวโน้มที่เพิ่มสูงขึ้นแต่ทรัพยากรกับมีอยู่อย่างจำกัดและลดน้อยลง ดังนั้นทั่วโลกจึงเริ่มต้นตัวและทางออกของปัญหา สำหรับประเทศไทยนับเป็นประเทศเกษตรกรรมที่สำคัญแห่งหนึ่งของโลก ผลผลิตอยได้ที่สำคัญนอกเหนือจากผลผลิตการเกษตรคือ วัสดุเหลือทิ้งทางการเกษตร เช่น พังช้า แกลบ กากอ้อย และหะลายปาล์ม เป็นต้น พลังงานที่ได้จากชีวมวลจึงเป็นอีกแหล่งพลังงานหนึ่งที่เหมาะสมกับประเทศไทย พลังงานที่ได้จากการเชื้อเพลิงแกลบก็มีความน่าสนใจอย่างมาก เนื่องจากแกลบมีข้อดีมากกว่าเมื่อเปรียบเทียบกับเชื้อเพลิงชีวมวลอื่น ๆ เช่น แกลบมีความซึ่งต่ำ มีขนาดเล็ก ไม่จำเป็นต้องผ่านการย่อยก่อนนำไปเผาไหม้ สามารถลำเลียงเข้าสู่ห้องเผาไหม้ได้อย่างเรียบง่ายและต่อเนื่อง นอกจากนี้ข้อดีที่ได้จากการเผาไหม้ยังสามารถนำไปขยายได้ การเผาไหม้เชื้อเพลิงชีวมวลซึ่งเป็นเชื้อเพลิงแข็งโดยใช้เทคนิคของฟลูอิเด茨เบดน้ำได้ว่าเป็นเทคนิคที่เหมาะสม เนื่องจากว่าเทคนิคนี้มีข้อได้เปรียบคือสามารถเปลี่ยนเชื้อเพลิงได้ตามความเหมาะสมหรือมีความยืดหยุ่นในการเลือกใช้เชื้อเพลิง สามารถทำงานได้ที่อุณหภูมิต่ำ อุณหภูมิที่ได้ค่อนข้างคงที่

ที่ผ่านมา มีผู้สนใจเกี่ยวกับการเผาไหม้เชื้อเพลิงแกลบโดยใช้เทคนิคฟลูอิเด茨เบดและเทคนิคอื่น ๆ มากมาย Wan และ Chyang [1] รายงานว่าการใช้วิธีการของเทคนิคฟลูอิเด茨เบดนั้นต้องการห้องเผาไหม้และเฟริบอร์ดที่สูงมากเพื่อลดอัตราการหลุดลอยของอนุภาคเชื้อเพลิง และแนะนำว่าเตาเผาฟลูอิเด茨เบดนั้นต้องมีความสูงมากกว่า 15 เท่าของเส้นผ่าศูนย์กลางเบด สำหรับการใช้เชื้อเพลิงแข็งที่เบามาก Eiamsa-ard และคณะ [2,3] ได้ทดสอบการเผาไหม้เชื้อเพลิงแกลบในเตาเพาวอร์เทค (vortex-combustor) เพื่อศึกษาคุณลักษณะการเผาไหม้ เช่น การกระจายอุณหภูมิ ก๊าซไอก๊าซและประสิทธิภาพที่เกิดจากการเผาไหม้ ผลการทดสอบพบว่า ระดับอุณหภูมิและประสิทธิภาพการเผาไหม้มีค่าค่อนข้างสูงในขณะที่ ค่าปริมาณก๊าซไอก๊าซที่วัด

ได้บริเวณทางออกมีค่าค่อนข้างต่ำ Kaewkaokiet และคณะ [4] ทดสอบการเผาไหม้ในเตาเผาฟลูอิเด茨เบด โดยมีการติดตั้งอุปกรณ์เพิ่มการหมุนวนแบบ converging-diverging nozzles ที่ผิวด้านในของห้องเผาไหม้ เพื่อศึกษาการกระจายอุณหภูมิภายในห้องเผาไหม้ และปริมาณก๊าซไอก๊าซที่เกิดขึ้น จากการทดสอบพบว่าเตาเผาที่ติดอุปกรณ์เพิ่มการหมุนวนจะให้ค่าประสิทธิภาพการเผาไหม้สูงกว่าเตาเผาที่ไม่ติดอุปกรณ์เพิ่มการหมุนวน Chyang และ คณะ [5] ได้ทำการศึกษาปริมาณการปล่อยก๊าซออกไซด์ในໂຕເຈັນ (NO) ของเตาเผาฟลูอิเด茨เบดแบบอากาศหมุนวน จากการทดสอบพบว่าผลของการเปลี่ยนแปลงเงื่อนไขการทดสอบ เช่น อุณหภูมิของเบด ปริมาณอากาศส่วนเกิน อัตราการไหลของอากาศ ล้วนแล้วแต่มีผลต่อปริมาณการปล่อยของออกไซด์ในໂຕເຈັນ Fang และ คณะ [6] ได้ทำการศึกษาการเผาไหม้ของแกลบในเตาเผาฟลูอิเด茨เบดแบบหมุนเวียน จากรายงานได้แนะนำถึงการทดลองแบบ cold flow model แสดงถึงการเกิดฟลูอิเด茨ของแกลบที่ค่อนข้างยาก จึงได้ทำการปรับปรุงให้เกิดการฟลูอิเด茨ให้ดีขึ้นโดยการเพิ่มชิลิกอนทรารี และถ่ายหินเข้าไปผสม Armesto และ คณะ [7] ได้ทำการศึกษาพฤติกรรมการเผาไหม้ของแกลบในเตาเผาฟลูอิเด茨เบดในช่วง bubbling fluidized bed โดยศึกษาอิทธิพลของตัวแปร เช่น อุณหภูมิ ความเร็วของการเกิดฟลูอิเด茨เช่นที่มีผลต่อประสิทธิภาพการเผาไหม้และปริมาณการปล่อยก๊าซไอก๊าซ จากการทดลองพบว่าประสิทธิภาพการเผาไหม้ที่ได้มีค่าสูงกว่า 97% ปริมาณการปล่อยก๊าซ CO มีปริมาณสูงกว่า 1,000 mg/Nm<sup>3</sup> และการกระจายตัวของอุณหภูมิภายในเตาเพามีผลอย่างมากทั้งต่อการปริมาณการปล่อยก๊าซ CO และประสิทธิภาพการเผาไหม้

งานวิจัยนี้ได้มุ่งเน้นศึกษาตัวแปรต่าง ๆ ที่มีผลต่อการเผาไหม้เชื้อเพลิงรวมไปถึงการออกแบบเตาเผาฟลูอิเด茨เบด ตัวแปรที่สนใจคือศึกษาประกอบด้วย ปริมาณเบอร์เซ็นต์อากาศส่วนเกิน ระยะห่างระหว่างเครื่อง โดยเชื้อเพลิงที่ใช้ในการทดสอบคือ แกลบ เป้าหมายเพื่อที่จะสามารถนำไปสู่การพัฒนาและปรับปรุงสมรรถนะของ

เตาเผาให้มีประสิทธิภาพสูง สามารถนำพลังงานความร้อนที่ได้ไปใช้ในได้อายุมีประสิทธิภาพและคุณค่ารวมทั้งยังสามารถช่วยลดสภาวะโลกร้อน (global warming) เพราะพลังงานที่ได้จากเชื้อเพลิงถือได้ว่าเป็นแหล่งพลังงานที่สะอาดและมีการปล่อยมลพิษในปริมาณต่ำ และที่สำคัญอีกประการหนึ่งก็คือช่วยลดอัตราการสูญเสียเงินตราอุดหนุนไปยังต่างประเทศในการนำเข้าเชื้อเพลิง

### วัตถุประสงค์การวิจัย

เพื่อศึกษาผลของตัวแปรต่าง ๆ ที่มีผลต่อพัฒนาระบบเผาไหม้ของแก๊สในห้องเผาไหม้ที่มีการติดตั้งเครื่องโดยการสังเกตจากการค่าอุณหภูมิและระยะห่างของอุณหภูมิภายในเตาเผา ปริมาณก๊าซไออกไซด์และประสิทธิภาพการเผาไหม้ ซึ่งตัวแปรต่าง ๆ ที่สนใจศึกษาในงานวิจัยนี้คือ ปริมาณเบอร์เช็นต์อากาศส่วนเกิน และระยะห่างระหว่างเครื่องเผาไหม้ สำหรับออกแบบและพัฒนาของเตาเผาฟลูอิเดซ์เบตให้มีขนาดเล็ก มีประสิทธิภาพสูง คุณค่าแก่การลงทุนและเหมาะสมสมกับการประยุกต์ใช้ในงานจริง

### ขอบเขตการวิจัย

3.1. ศึกษาพัฒนาระบบเผาไหม้ของแก๊สในเตาเผาฟลูอิเดซ์เบตที่ภายในห้องเผาไหม้ทำการติดตั้งเครื่อรูปตัววี มีมุมประทະเท่ากับ  $45^{\circ}$  โดยจะทำการเปรียบเทียบผลการทดสอบกับกรณีที่ไม่มีติดตั้งเครื่อง

3.2. อัตราการป้อนแก๊สคงที่เท่ากับ 8.7 กิโลกรัม/ชั่วโมง

3.3. ปริมาณเบอร์เช็นต์อากาศส่วนเกิน เท่ากับ 23 และ 36%

3.4. อัตราส่วนระยะห่างระหว่างเครื่องต่อความสูงของห้องเผาไหม้, ( $S/H=0.01, 0.015, 0.02$  และ  $0.025$ )

### ขั้นตอนการทดลอง

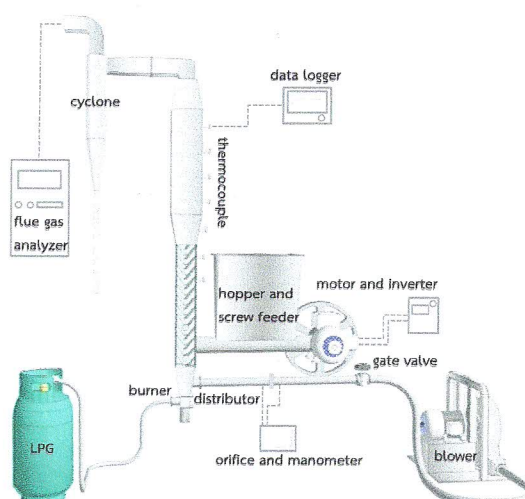
การศึกษาทดลองนี้มีขั้นตอนการดำเนินการ ดังต่อไปนี้

1. หลังจากการติดตั้งเครื่องแล้ว ทำป้อนอากาศเข้าสู่ห้องเผาไหม้ ด้วยอัตราการไหลของอากาศเพียงเล็กน้อย แล้วจุดหัวเผาอุ่นเตา เพื่อให้มีความร้อนด้วยก๊าซ LPG จากนั้นสังเกตอุณหภูมิโดยรอบจนกระทั่งอุณหภูมิภายในห้องเผาไหม้สูงประมาณ  $600^{\circ}\text{C}$  จึงทำการป้อนแก๊สเข้าสู่ห้องเผาไหม้เริ่มด้วยปริมาณน้อยพร้อมกับเพิ่มปริมาณอากาศตามสัดส่วนที่พอดี แล้วค่อยเพิ่มปริมาณแก๊สและอากาศขึ้นพร้อมกันจนได้ปริมาณตามต้องการ รอจนกระทั่งอุณหภูมิสูงประมาณ  $750^{\circ}\text{C}$  ให้หยุดการจ่ายก๊าซ LPG

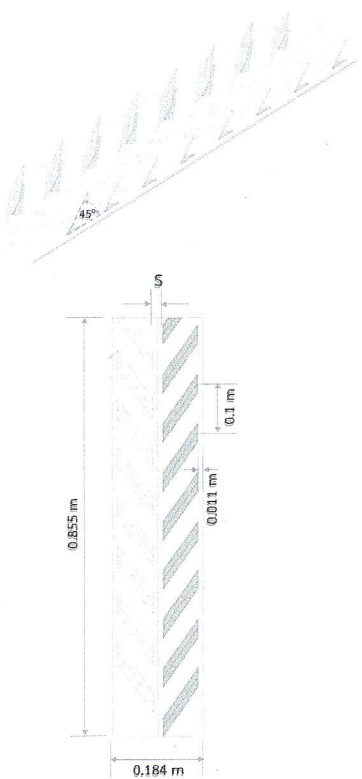
2. ปรับปริมาณอากาศเมื่อเทียบกับอัตราการป้อนเชื้อเพลิง 8.7 kg/hr โดยมีปริมาณเบอร์เช็นต์อากาศส่วนเกินเท่ากับ 23% แล้วสังเกตพฤติกรรมการติดไฟจนกระทั่งอุณหภูมิค่อนข้างคงที่จึงทำการบันทึกค่าอุณหภูมิ, ปริมาณก๊าซไออกไซด์และประสิทธิภาพการเผาไหม้ พร้อมทั้งสังเกตสีและขนาดของเชื้อถ้าด้วย

3. ทำซ้ำตามข้อที่ 2 โดยเปลี่ยนค่าเบอร์เช็นต์อากาศส่วนเกินเป็น 36%

4. ปรับเปลี่ยนลักษณะเครื่องตามกรณีศึกษาที่กำหนดไว้แล้วทำซ้ำตามขั้นตอนที่ 2



รูปที่ 1 เตาเผาแก๊สฟลูอิเดซ์เบต



รูปที่ 2 ลักษณะและขนาดของครีบ

## ผลการวิจัย

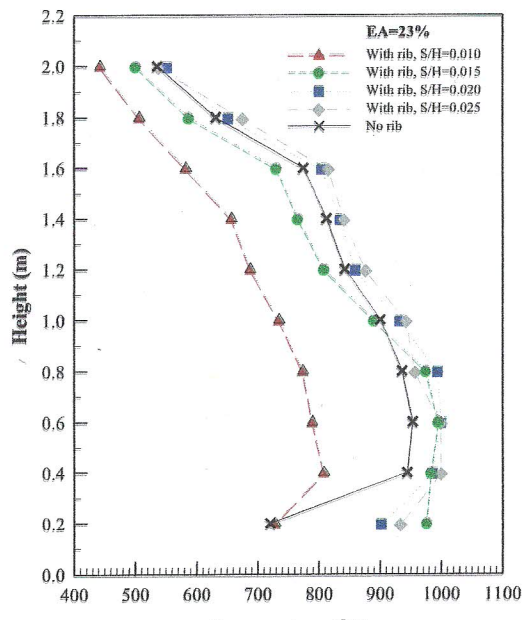
### 1 การกระจายตัวของอุณหภูมิ

ลักษณะการกระจายตัวของอุณหภูมิภายในเตาเผาฟลูอิเดซ์เบตสำหรับค่า EA=23 และ 36% ได้แสดงตัวรูปที่ 3 และ 4 ตามลำดับ จากรูปที่ 3 และ 4 จะเห็นว่าเมื่อเปรียบเทียบเตาเผากรณีที่ไม่มีการติดตั้งครีบกับกรณีที่ติดตั้งครีบ พบร่วมกับลักษณะการกระจายตัวของอุณหภูมิเหมือนกัน คือ อุณหภูมิจะสูงอยู่ในบริเวณห้องเผาใหม่และลดลงในส่วนของฟรีบอร์ด จากการสังเกตค่าอุณหภูมิจะเห็นว่ามีค่าค่อนข้างสูงอยู่ในช่วงการวัดตำแหน่ง การวัดที่ 2-4 (เท่ากับระยะความสูงของเตาเผา 0.4-0.8 เมตร) ทั้งนี้เป็นเพราะลุ่มที่จ่ายเข้าไปในเตาเผาช่วยทำให้เกิดพลอยอุ่นในระดับความสูงตั้งกล่าวและเกิดการเผาใหม่เชือเพลิงแก๊สที่ปริมาณนั้นจึงทำให้ค่าอุณหภูมิที่วัดได้มีค่าสูงกว่าที่ตำแหน่งอื่น ๆ เตาเผาประกอบฟลูอิเดซ์เบตที่ค่า EA=23 และ 36% พบร่วมกับกรณีไม่มีการติดตั้งครีบจะให้ค่าอุณหภูมิเฉลี่ยสูงกว่ากรณีที่ติดตั้ง

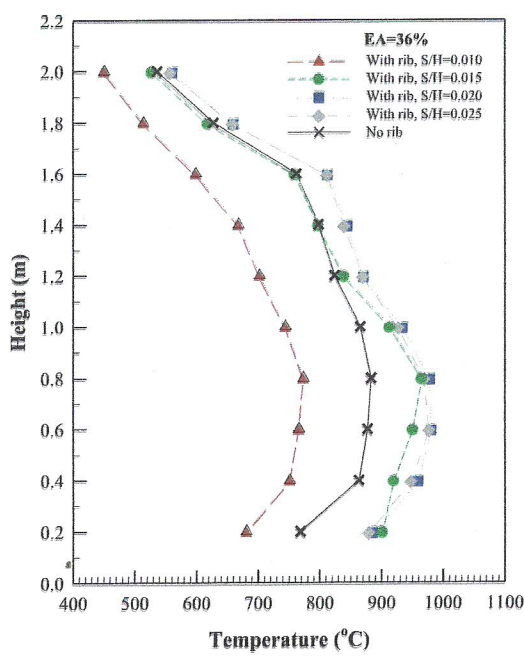
ครีบที่ค่า S/H=0.01 แต่จะมีค่าต่ำกว่าเมื่อเปรียบเทียบกับในกรณีที่ติดตั้งครีบที่ค่า S/H=0.015, 0.02 และ 0.025 จากผลการทดลองพบว่าค่าอุณหภูมิเฉลี่ยในกรณีที่ไม่มีการติดตั้งครีบมีค่าเท่ากับ 805 และ 780 °C สำหรับ EA=23 และ 36% ตามลำดับ สำหรับเตาเผาที่ติดตั้งครีบที่ค่า EA=23% จะให้ค่าอุณหภูมิเฉลี่ยเท่ากับ 671, 822, 852, และ 858 °C สำหรับที่ค่า S/H= 0.01, 0.015, 0.02 และ 0.025 ตามลำดับ และสำหรับเตาเผาที่ติดตั้งครีบที่ค่า EA=36% จะให้ค่าอุณหภูมิเฉลี่ยเท่ากับ 665, 819, 849, และ 844 °C สำหรับที่ค่า S/H= 0.01, 0.015, 0.02 และ 0.025 ตามลำดับ

### 2 ปริมาณก๊าซไอเสีย

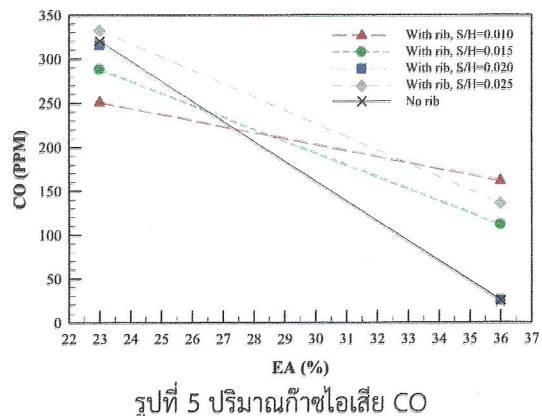
ในการวิจัยนี้ได้ทำการวัดองค์ประกอบของก๊าซไอเสียที่อาจเกิดขึ้นได้จากการเผาใหม่ที่ไม่สมบูรณ์คือก๊าซคาร์บอนมอนอกไซด์ (CO) และออกไซด์ของไนโตรเจน ( $\text{NO}_x$ ) ด้วยเครื่องวิเคราะห์ก๊าซไอเสียซึ่งเป็นค่าที่ถูกควบคุมให้อยู่ในมาตรฐาน ดังนั้นการพิจารณาถึงความสามารถและความเหมาะสมในการใช้งานจำเป็นที่จะนำผลของการวัดของปริมาณการปล่อยก๊าซไอเสียมาพิจารณา ด้วย รูปที่ 5 และ 6 แสดงค่าปริมาณของก๊าซ CO และ  $\text{NO}_x$  ที่ค่า EA ต่าง ๆ ตามลำดับ จากรูปที่ 5 พบร่วมกับ CO ลดลงเมื่อค่า EA เพิ่มขึ้นสำหรับทุกกรณีศึกษา จากผลการทดลองพบว่าปริมาณ CO มีค่าอยู่ในช่วงระหว่าง 25-340 ppm. จากรูปที่ 6 พบร่วมกับ  $\text{NO}_x$  เพิ่มสูงขึ้นเมื่อค่า EA เพิ่มขึ้นสำหรับทุกกรณีศึกษา ปริมาณ  $\text{NO}_x$  มีค่าอยู่ระหว่าง 50-100 ppm. ซึ่งปริมาณของทั้งก๊าซ CO และ  $\text{NO}_x$  ที่ปล่อยออกมามีค่าต่ำกว่าค่ามาตรฐานกำหนดโดยค่ามาตรฐานของอากาศได้กำหนดไว้ที่ค่า CO และ  $\text{NO}_x$  จะต้องไม่เกิน 690 ppm และ 200 ppm ตามลำดับ ก่อนปล่อยทิ้งสู่บรรยากาศ ค่ามาตรฐานควบคุมการปล่อยปริมาณก๊าซไอเสียจากโรงงานอ้างอิงโดย [8]



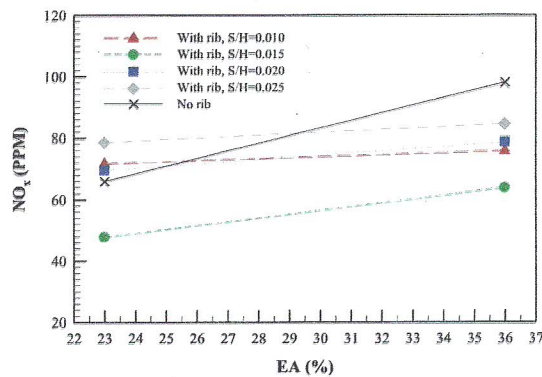
รูปที่ 3 สักษณะการกระจายตัวของอุณหภูมิที่ค่า  
EA=23%



รูปที่ 4 สักษณะการกระจายตัวของอุณหภูมิที่ค่า  
EA=36%



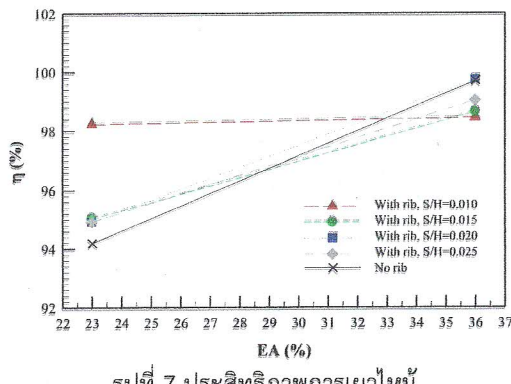
รูปที่ 5 ปริมาณก๊าซไอเสีย CO



รูปที่ 6 ปริมาณก๊าซไอเสีย NOx

### 3 ประสิทธิภาพการเผาไหม้

ประสิทธิภาพการเผาไหม้ (η) วัดได้ด้วยเครื่องวิเคราะห์ก๊าซไอเสียดัง รูปที่ 7 แสดงค่าประสิทธิภาพการเผาไหม้ที่ค่า EA ต่าง ๆ จากรูปพบว่าค่า η เพิ่มขึ้นเมื่อค่า EA เพิ่มขึ้นสำหรับทุกกรณีศึกษา เมื่อทำการเปรียบเทียบค่า η กับค่าปริมาณของก๊าซ NOx และ CO พบว่าค่า η จะเพิ่มขึ้นเมื่อค่า NOx เพิ่มขึ้น แต่ในทางกลับกันค่า η จะมีเพิ่มขึ้นเมื่อค่า CO ลดลง ทั้งนี้ เพราะว่าถ้าค่า CO สูงแสดงถึงการเผาไหม้เชื้อเพลิงที่ไม่สมบูรณ์ จากผลการทดลองพบว่าค่าประสิทธิภาพการเผาไหม้สำหรับทุกกรณีศึกษามีค่าอยู่ในช่วง 95-99%



รูปที่ 7 ประสิทธิภาพการเผาไหม้

### อภิปรายและสรุปผลการวิจัย

จากการศึกษาการเผาไหม้เชื้อเพลิงแกลบในเตาเผาฟลูอิเดซ์เบดที่มีปรับปรุงห้องเผาไหม้ด้วยการติดตั้งครีบรูปตัววี พบว่าการติดตั้งครีบช่วยทำให้การเผาไหม้ของเชื้อเพลิงแกลบได้ดีกว่ากรณีที่ไม่ติดตั้งครีบ จะเห็นได้จากค่าอุณหภูมิเฉลี่ยในการณ์ที่มีการติดตั้งครีบมีค่าสูงกว่ากรณ์ที่ไม่ติดตั้งครีบและการปรับเปลี่ยนค่า EA พบว่าเตาเผาฟลูอิเดซ์เบดที่ค่า EA=23% จะให้ค่าอุณหภูมิเฉลี่ยสูงกว่าที่ค่า EA=36% ทั้งกรณ์ที่ติดตั้งครีบและไม่ติดตั้งครีบ ในการณ์ที่ติดตั้งครีบรูปตัววีและมีการปรับเปลี่ยนค่า S/H พบว่า ที่ค่า S/H=0.025 และ EA=23% ให้ค่าอุณหภูมิเฉลี่ยสูงกว่ากรณ์อื่น ๆ มีค่าเท่ากับ 858 °C จากการวิเคราะห์ค่าปริมาณการปล่อยก๊าซไออกไซเดีย พบว่ามีค่าต่ำกว่ามาตรฐานกำหนดทั้งกรณ์ที่ติดตั้งครีบและไม่ติดตั้งครีบ ในส่วนของค่าประสิทธิภาพการเผาไหม้ พบว่ามีค่าอยู่ในช่วง 95-99% สำหรับทุกกรณ์ศึกษา

### เอกสารอ้างอิง

- [1] H.P. Wan and C.S. Chyang. (1998). Transport Disengaging Height and Elutriation Rate of a Vortexing Fluidized Bed, Journal of Chemical Engineering of Japan, 13(6), 977-986.
- [2] S. Eiamsa-ard, Y. Kaewkohkiat, W. Lelaphatikul, C. Thianpong and P. Promvonge. (2008). Experimental investigation of combustion characteristics in a multi-staging vortex combustor firing rice husk, International Communications in Heat and Mass Transfer 35, 139-148.
- [3] S. Eiamsa-ard, Y. Kaewkohkiat, C. Thianpong and P. Promvonge. (2008). Combustion behavior in a dual-staging vortex rice husk combustor with snail entry, International Communications in Heat and Mass Transfer, 35, 1134-1140.
- [4] Y. Kaewkohkiat, S. Eiamsa-ard, K. Wongcharée, D. Thungsotanon and P. Promvonge. (2009). Combustion of rice husk in a fluidized bed combustor with wavy-surfaced chambers, Proceedings of the International Conference on Power Engineering-09 (ICOPE-09) 16-20 November, 2009, Kobe, Japan.
- [5] C.S. Chyang, K.T. Wu, C.S. Lin. (2007). Emission of nitrogen oxides in a vortexing fluidized bed combustor, Fuel, 86, 234-243.
- [6] M. Fang, L. Yang, G. Chen, Z. Shi, Z. Luo, K. Cen. (2004). Experimental study on rice husk combustion in a circulating fluidized bed, Fuel Processing Technology, 85, 1273-1282.
- [7] L. Armestoa, A. Bahilloa, K. Veijonenb, A. Cabanillas, J. Otero. (2002). Combustion behavior of rice husk in a bubbling fluidized bed, Biomass and Bioenergy, 23, 171-179.
- [8] มาตรฐานควบคุมการปล่อยปริมาณก๊าซไออกไซเดีย กรมควบคุมมลพิษ กระทรวงทรัพยากรธรรมชาติและสิ่งแวดล้อม แหล่งที่มา <http://www.pcd.go.th> ประกาศ ณ วันที่ 12/10/2554.